

## Semi-Insulating GaAs의 재료특성과 응용

姜光男

(韓國科學技術院 半導體材料研究室)

■ 차례 ■

- 1. 머릿말
- 2. SI GaAs 단결정의 제조와 Deep Level
- 3. SI GaAs의 전기적 특성
- 4. FA-PME Effect
- 5. SI GaAs 기판의 응용
- 6. 맺는 말

### ① 머릿말

최근 눈부신 발전을 거듭하는 반도체산업은 실리콘계 소자 분야에만 국한된 것이 아니라 III-V 화합물반도체 특히 GaAs의 재료 및 소자 분야에서도 급격한 발전이 이루어지고 있다. GaAs는 실리콘에서 얻을 수 없는 여러 재료 특성—발광현상, 높은 mobility 등—을 보여 LED, laser diode, microwave 소자 및 고속논리회로 등에 크게 응용되고 있다. 특히 단결정 제조 분야에서의 LEC (liquid-encapsulated czochralsky) 방법에 의한 고순도 원형 단결정의 제조는 지금껏 주로 이용되고 있는 HB (horizontal Bridgeman) 방법에 의한 "D" 형 기판이 갖는 여러 난점을 해소하고 전도매체의 농도가 GaAs의 intrinsic 농도에 가까운  $10^7 \text{ cm}^{-3}$  (비저항  $\rho \approx 10^8 \text{ ohm-cm}$ )의 반절연성 (semi-insulating, SI) 기판의 대량생산을 가능케 하여 직접 이온주입에 의한 각종 논리회로의 제조연구가 활발히 진행되고 있다.<sup>1)</sup> 또한 GaAs 내의 높은 전자 mobility ( $\mu_n \approx 8,500 \text{ cm}^2/\text{V}\cdot\text{s}$ ,  $T = 300 \text{ K}$ : 참고 Si에서  $\mu_n \approx 1500 \text{ cm}^2/\text{V}\cdot\text{s}$ )를 이용, 고집적화에 따른 gate 수의 증가에 대비한 access 시간을 최소화하려는 노력에 따라 HEMT (high electron mobility transistor)의 제조기술 연구가 미국, 일본, 프랑스 등에서 활발히 진행되고 있다.<sup>2)</sup>

SI GaAs는 위와같이 여러 소자들의 출발재료로써 제조기술 및 특성의 조사가 지난 20여년간 활발히 이루어져 왔으나 가장 기본적인 전기적 특성에 관한 연구결과는 희소한 상태이다. 특히 높은 비저항과 mixed conduction에 의한 미지 parameter 수의 증가는 실온에서의 전기적 특성(전자 및 정공의 농도와 mobility 등) 연구에 많은 어려움을 보이고 있다.

이 글에서는 SI GaAs의 제조방법 및 전도매체들의 깊은 에너지위치 (deep level)에 의한 상쇄현상 (compensation)을 간략히 설명한 후 넓은 자장 영역 ( $B = 0 \sim 13 \text{ T}$ )에서의 Hall 효과 및 magnetoresistance (MR)에 의한 전기적 특성 연구방법을 설명하고, 전도매체의 재결합 현상을 연구할 수 있는 일반화 PME효과 (FA-PME)에 대해 기술한 후 SI GaAs 기판의 응용에 대해 간략히 기술하였다.

### ② SI GaAs 단결정의 제조와 Deep Level

GaAs 단결정의 제조방법은 주로 horizontal bridgeman (HB) 방법과 liquid encapsulated czochralsky (LEC) 방법의 두 가지이다.

HB 방법은 통합된 석영관 내부의 한쪽에 종자결정과 Ga을 두고 GaAs의 용융점인  $1235^\circ\text{C}$ 로 유지하며 한쪽에 As를 두어 약  $614^\circ\text{C}$ 로 유지(이 경

우 As 의 증기압은 약 1 기압) 한다. 합성된 결정의 stoichiometry 는 전기로 온도의 성밀제어나 기화된 As 의 양까지 고려한 Ga 과 As 의 정밀 청량으로 결정한다. Ga 과 As 의 합성이 끝나면 종자결정으로 부터 서서히 낸각시켜 (전기로의 이동에 의해) 단 결정-용융액 경계면이 약  $0.1 \sim 2 \text{ cm/hr}$  로 이용되게 한다. 이 방법으로 약 3 kg 까지의 단결정을 제조할 수 있으며 제조된 기관은 "D" 형이다. 이와같이 제조된 단결정의 주요 불순물은 출발 물질인 Ga 과 As 에 이미 존재하던 불순물과 석영관으로부터의 실리콘 및 진공 pump 용의 기름등으로부터의 탄소등이다. 특히 Si 은 단결정 제조시 침가된 산소에 의해 현저히 감소한다. 이 방법으로 제조된 현재까지의 가장 좋은 결과는  $\text{O}_2$  가 침가된 결정에서 Hall mobility 가 약  $8000 \text{ cm}^2/\text{V.s}$ ,  $n = 2 \sim 4 \times 10^{15} \text{ cm}^{-3}$  이다.

LEC 방법은 휘발성이 큰 성분을 갖는 화합물 반도체의 제조에 매우 유용하다. 원리는 용융된 GaAs 를 역시 용융된  $\text{B}_2\text{O}_3$  로 약 2 cm 정도 덮어 As 의 휘발을 방지하며  $\text{B}_2\text{O}_3$  뿌성을 통하여 단결정을 성장시키는 것이다. 성장속도는 보통, GaAs 가 용해열이 크고 연전도가 나빠, 시간당 약  $0.1 \sim 0.5 \text{ inch}$  정도이다. 도가니속에 채워진 GaAs 는 이미 제조된 다결정을 사용하거나 장치내부에서 직접 합성시키며, 후자의 속도가 고순도 결정을 얻는데 유리하다. 용융액의 온도는 통상  $\pm 0.5^\circ\text{C}$  이내로 세어되고, 장치 내부의  $\text{N}_2$  압력을 약 2 기압 정도로 유지함으로써  $\text{B}_2\text{O}_3$  층을 통한 As 의 손실을 방지한다. 용융액도가니는 PBN (pyrolytic boron nitride), 석영등이 사용되나 PBN 이 고순도 결정제조에 가장 양호하다. 한편  $\text{B}_2\text{O}_3$  의 질이 제조된 단결정의 특성에 크게 영향을 미치므로 결정제조전에 반드시 건조 및 배기가 필요하다. 이 방법으로 대단히 큰 (6 kg 이상) 단결정을 제조할 수 있으며 제조된 기관은 실리콘과 같이 원형이나 결정내부의 dislocation 농도가 큰 것이 흔이다. ( $10^4 \sim 10^6 \text{ cm}^{-2}$ ) 전기적 특성은 반질연성의 경우  $\mu n = 7000 \text{ cm}^2/\text{V.s}$ , conducting 의 경우  $\approx 6300 \text{ cm}^2/\text{V.s}$  이다.

이와 같은 방법으로 GaAs 를 제조할 때 Cr 을 불순물로써 침가하거나 초고순도의 GaAs 를 제조하면 반질연성(SI)GaAs 가 얻어진다. SI GaAs 내의 깊은 에너지 레벨들은 DLTS (deep level transient spectroscopy), OTCS (optical transient current spectroscopy) 등의 방법으로 연구되어 진다. 이 방법들에 의해 발견된 깊은 에너지 위치들은 전자 trap

으로 작용하는 deep donor 와 정공 trap 으로 작용하는 deep acceptor 의 두가지로 크게 나누어지고 지금까지 각각  $17^{31}$ ,  $12^{41}$  정도가 보고되어 있다.

이들중 SI GaAs 에서 가장 흔히 관측되는 것이 donor로 작용하는 EL2 와 Cr에 의해 만들어진 acceptor level 이다. EL2 는 종래 결정제조시 첨가된 산소에 의해 생성된 것으로 간주되었으나 최근의 연구결과 antisite 형태의 결정결핵에 의해 생성되었음이 밝혀졌고<sup>51</sup>, 그 농도는 약  $5 \times 10^{15} \sim 3 \times 10^{16} \text{ cm}^{-3}$  정도이다. Cr 은 GaAs 결정내의 Ga 자리에 치환되어 (Cr Ga) 있으며 가장 확율이 큰 반응은  $\text{Cr}^{3+} \rightleftharpoons \text{Cr}^{2+}$  으로  $\text{Cr}^{3+}$  가 결정내에서 중성상태이고 약  $2 \times 10^{17} \text{ cm}^{-3}$  까지 첨가시킬 수 있다.

이 두 에너지의 위치는 금지대내의 중심부 부근에 있고 아래와 같이 표시된다.<sup>61</sup>

$$E(\text{EL2}) = -0.759 + 2.37 \times 10^{-4} T$$

$$[\text{eV}] \quad (2-1)$$

$$E(C_r) = 0.81 - \frac{3 \times 10^{-4} T}{T + 204} + kT \ln(0.93) \quad (2-2)$$

$$[\text{eV}]$$

여기서 EL2 는  $E_c$  로 부터,  $E(\text{Cr})$  은  $E_v$ 로 부터 표시된 값이다.

### ③ SI GaAs의 전기적 특성

GaAs 의 intrinsic 전도매체 농도는  $n_i = 2.1 \times 10^6 \text{ cm}^{-3}$  ( $T=300\text{K}^{71}$ ) 으로써 Si 이나 Ge 에 비해 매우 낮으나 통상의 HB 방법으로는 실현되기 어려우며, LEC 방법의 초고순도 결정에서 또는 에너지 금지대내의 깊은 에너지 위치를 갖는 천이금속류 (예 Cr) 를 첨가함으로써 전도매체의 상쇄현상 (compensation)에 의해 얻을 수 있다. 이와 같은 현상은 전향에서 이미 설명된 두개의 깊은 에너지 위치, deep donor 및 acceptor (농도  $N_{DD}$ ,  $N_{AA}$ ), 와 두개의 얕은 에너지 위치, shallow donor 및 acceptor (농도  $N_D$ ,  $N_A$ ), 를 가정한 4-level 모델에 의해 쉽게 이해될 수 있다.<sup>81</sup> 이 경우의 전기적 중성조건 (charge neutrality)은 아래와 같이 표시된다.

$$n + N_A^- + N_{AA}^- = p + N_D^+ + N_{DD}^+ \quad (3.1)$$

이온화된 각 에너지 위치들의 농도는 Fermi 위치  $E_F$  와 Fermi - Dirac 의 통계에 의해 결정되며, 각 불순물들의 농도 및 위치들이 주어지면 (참고 2.1 과 2.2)  $E_F$  가 결정되고 따라서 전자 및 정공의 농도 ( $n$ ,  $p$ ) 가 주어진다. 그럼 1 은 두개의 깊은 에너지

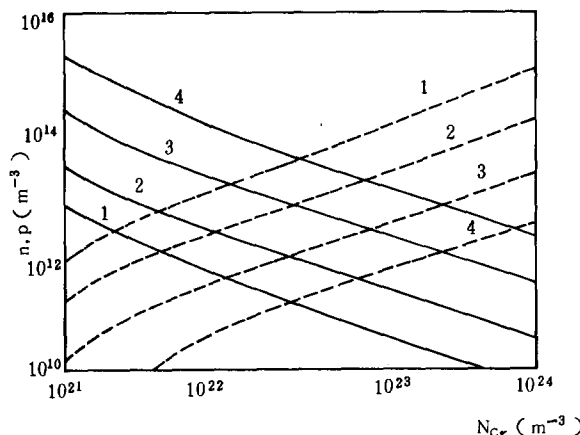


그림 1. Deep Impurities에 따른 전도매체의 농도 ( $T = 300 \text{ K}$ )  $n$ (—) ---,  $N_{DD} = 10^{21} \text{ m}^{-3}$  (1),  $10^{22} \text{ m}^{-3}$  (2),  $10^{23} \text{ m}^{-3}$  (3),  $10^{24} \text{ m}^{-3}$  (4):  $N_d = 10^{21} \text{ m}^{-3}$ ,  $K = N_A/N_d = 0.5$ ,  $N_{AA}$ 는  $N_{cr}$ 으로 가정하였음.

위치를 SI GaAs 내에서 가장 흔히 관찰되는 EL2와  $\text{Cr}^{2+} \rightleftharpoons \text{Cr}^{3+}$ 로 가정하고 계산된 결과를 보이고 있다. 예상된 바와 같이  $n$  및  $p$ 는  $n_i$  값에 가까운 값이고  $N_{AA}$  및  $N_{DD}$ 의 값에 따라  $n$  또는  $p$  형으로 전환될 수 있음이 관찰된다.

SI GaAs에서의 Hall 효과 및 전기전도도는 일반적으로 전자 및 정공이 모두 전도현상에 기여하는 바, 단순한 형태로 표시되지 않는다. 보통의 실험조건인 낮은 자장( $\mu^2 B^2 \ll 1$ )에서의 Hall mobility와 magnetoresistance는 mixed conduction과 전도매체의 산란효과에 의한 두 가지의 기여를 가지며, 각 전도매체의 mobility( $\mu_p, \mu_n$ ) 및 매체농도( $p, n$ )와 산란기구에 대한 지식이 측정된 결과의 해석에 필요하다.<sup>9)</sup> 통상, 산란효과를 무시하고(경우에 따라, 예컨대 extrinsic 재료에서, 이 항목이 mixed conduction에 의한 기여보다 클 수도 있거나) 실험결과를 해석한다 하여도 미지의 재료 parameter가 extrinsic의 경우보다 두 배 증가하여 실질적인 결과해석의 어려움이 따른다.

한편 넓은 영역의 자장에서 (예컨대  $B = 0 \sim 13T$ , 이 경우 자장에 의한 Landau level의 분리는 20meV 미만이며 SI GaAs 내의 Fermi 위치는 금지대내의 중간위치에 있으므로 무시할 수 있음) Hall 효과와 magnetoresistance를 측정하면 각 전도매체의 산란효과가 무시되어 질 수 있고<sup>10)</sup>, 아래와 같이 표시된다.

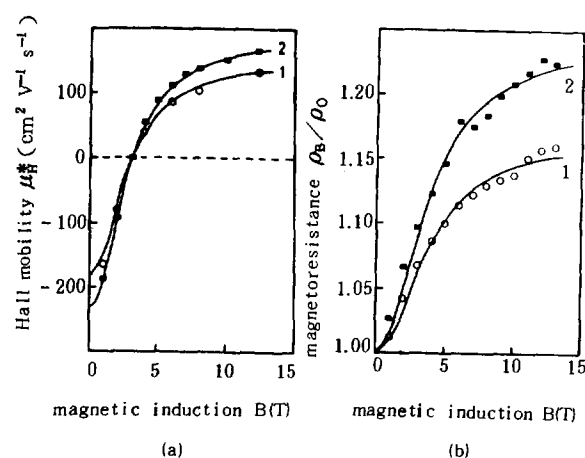


그림 2. 자장에 따른 ambipolar mobility  $\mu_H^*$  와 magnetoresistance의 변화( $T = 285 \text{ K}$ )

$$\mu_H^* = \frac{(p_o \mu_{pB} \mu_{Hp} - n_o \mu_{nB} \mu_{Hn})}{(p_o \mu_{pB} + n_o \mu_{nB})} \quad (3.2)$$

$$\frac{\rho_B}{\rho_0} = \frac{(p_o \mu_{p0} + n_o \mu_{n0})}{(p_o \mu_{pB} + n_o \mu_{nB})} \frac{1}{(1 + \mu_H^{*2} B^2)} \quad (3.3)$$

여기서 각 mobility들은 자장의 함수로, 넓은 자장의 경우 아래와 같이 간단하게 표시되어 질 수 있다.

$$\mu_{p,nB} = \mu_{p,n0} / (1 + \mu_{p,n0}^2 B^2) \quad (3.4)$$

이와 같은 방법으로 측정된 SI GaAs의  $\mu_H^*$  와  $\rho_B/\rho_0$ 가 그림 2에 나타나 있다. 사용된 시료는 Cr이 첨가된 (100) 기판으로 두께 350  $\mu\text{m}$ , 5mm  $\times$  5mm의 Van der Pauw 형이고, 5 N의 In 전극을 갖고 있다. 이 두 실험결과를 위의 표현식으로 curve fitting하여 얻어진 SI GaAs의 재료 parameter가 아래의 표에 나타나 있다.

표 1. SI GaAs의 재료특성( $T = 285 \text{ K}$ )

	mobility (cm <sup>2</sup> /v s)		concentration (cm <sup>-3</sup> )		
	$\mu_{n0}$	$\mu_{p0}$	$n_0$	$p_0$	$n_i$
No. 1	3,300	190	$6.1 \times 10^4$	$9.3 \times 10^6$	$7.5 \times 10^6$
No. 2	3,440	250	$7.6 \times 10^4$	$7.2 \times 10^6$	$7.5 \times 10^6$

이와 같은 방법의 특징은 특히 낮은 자장에서 측정된 결과의 해석에서처럼 mobility의 비  $b = \mu_{n0}/\mu_{p0}$ 를 가정하지 아니하고 직접  $\mu_n$ 와  $\mu_p$ 를 결정할 수 있음이다. (보통 mobility의 비를 15로 가정한 연구 발표가 많다<sup>11)</sup>) 위의 경우  $b = 14 \sim 17$ 로써 지금까지 가정된 값의 실현적인 확인을 주고 있다. 아울러 결정된 intrinsic 매체 농도는 측정온도에 대한 보정을 감안하면 최근 발표된 이론적인 값에 매우 잘 일치하고 있다.<sup>12)</sup>

Van der Pauw 방법은 지금껏 대단히 유용한 것으로 이해되어 왔으나 magnetoresistance가 큰 시료들에 대해서는 Hall 전압의 측정시 MR에 대한 보정이 필요하다. 일반적으로 두개의 non-consecutive 전극에 전류  $I$ 를 흘리면 나머지 두전극에서의 전압은 Hall 전압  $V_H$ 와 MR의 성분으로 표시된다.<sup>13)</sup>

$$V_{13}(B) = V_H(I, B) + (\rho_B/\rho_o)V_{13}(0)$$

따라서 MR이  $V_H$ 에 비해 큰 경우 재래의 방법에 의한 Hall 전압의 측정은 옳지 않게 되며, 두방향의 자장에 대해 적절한 평균값을 취해야 되고, 이 경우 Hall 전압뿐만 아니라 MR( $\rho_B/\rho_o$ )도 동시에 얻을 수 있다.

#### 4 FA-PME Effect

Photomagneto-electric(PME)효과는 반도체내의 재결합현상의 연구에 매우 유용하다. PME 효과는 1934년 Cu<sub>2</sub>O에서 발견된 이래<sup>13)</sup> Aigrain과 Bulliard<sup>14)</sup> 및 Van Roosbroeck<sup>15)</sup>에 의해 이론적인 model이 정립되고 시료의 이방성<sup>16)</sup>, trapping<sup>17)</sup>, transient 효과<sup>18)</sup> 등에 응용되어 왔다. 이 현상의 주요 원리는 빛에 의해 생성된 전도매체들이 Lorentz 힘에 의해 편이되어 시료양단에 단락전류 또는 세방전압을 주는 것이다.

한편 magnetoconcentration(MC)효과는 진극에 서 주입된 전도매체들이 Lorentz 힘에 의해 표면 재결합 속도가 서로 다른 시료의 어느 한쪽 표면으로 이동하여 재결합함으로써 Lorentz 힘의 방향에 따라 전류-전압의 특성이 비대칭적 비선형화하는 현상이다. 이 현상은 Welker<sup>19)</sup>에 의해 제시되었으며 InSb, Ge 및 PbSnTe<sup>20), 21)</sup> 등에서 연구되었고, Hall 소자보다 감응도가 더 예민한 자장측정용 magnetodiode에 응용되어 있다.<sup>22)</sup>

Field Assisted(FA)PME효과는 이 두 현상의 결합으로, 특히 SI Ga As의 재결합 특성 연구에 유용

하였다. 이 현상의 원리는 빛에 의해 생성된 전도매체들의 농도구배와 생성된 평균 전도매체의 농도가 Lorentz 힘과 방향에 의해 크게 변화하며 이 결과 고전적 PEM효과로써 단락전류의 변화뿐만 아니라 비직선성 전류-전압의 관계를 보이고, 이 현상을 이용한 표면 및 체적 재결합 특성을 연구할 수 있다.

FA-PME 효과의 일반적인 model은 규칙하고 등방성이며 전장의 방향으로 긴 직 6면체 반도체 시료를 가정한다. (그림 3의 삽입도 참조). 전장( $E_x$ )과 자장방향( $B_z$ )에 수직인 방향( $y$ )으로 빛을 쪼이면 시료내부의 전류밀도는 열평행의 조건아래  $y$ 방향에만 의존하게 되며 아래와 같이 표시된다.

$$\vec{J}_{n,p}(y) = (\sigma_{n,p} \vec{E} - e\beta \mu_{n,p} \vec{\nabla} n, p) + (\sigma_{n,p} \vec{E} - e\beta \mu_{n,p} \vec{\nabla} n, p) \times (\mu_H)_{n,p} \vec{B} \quad (4.1)$$

여기서  $n(y)$ ,  $p(y)$ 는 전도매체의 농도이고  $\sigma_{n,p}$ 는 전기전도도( $\sigma_{n,p} = e n, p \mu_{n,p}$ )이며  $\beta \equiv kT/e$ ,  $\mu$ 와  $\mu_H$ 는 drift와 Hall mobility이다.

$y$ 방향으로 전류의 손실이 없다는 조건( $J_y \equiv 0$ )으로 부터 전장방향의 전류는 아래와 같이 전도 및 확산의 두 항으로 주어진다.<sup>23)</sup>

$$J_x(y) = J_C(y) + J_D(y) \\ = e(p\mu_p + n\mu_n)(1 + \mu_H^2 B^2) E_x - \\ kT \frac{\mu_p \mu_n (\mu_{Hp} + \mu_{Hn})}{(p\mu_p + n\mu_n)} B \frac{\partial}{\partial y} (pn) \quad (4.2)$$

여기서  $\mu_H^2$ 는 3절에서 주어진 mixed conduction의 Hall mobility이고(전도매체의 농도는 이 경우  $n = n_0 + \delta_n$ ,  $p = p_0 + \delta_p$ 이다),  $n$ 과  $p$ 는 steady state에서의 continuity에 의해 주어진다.

$$\vec{\nabla} \cdot \vec{J}_{n,p} = \mp e(G - R) \quad (4.3)$$

여기서 전도매체의 생성율  $G$ 는 통상의 예와 같이 지수적이고( $G = \alpha I_o e^{-\alpha y}$ ;  $\alpha$ =흡수계수,  $I_o$ =빛의 세기) 재결합율은 선형을 가정한다( $R_p = \delta n/\tau_n = \delta p/\tau_p$ ,  $R_s = \alpha_{12} \delta n(o, d)$ ;  $\tau$ =excess 매체의 수명,  $\alpha_{1,2}$ =표면 재결합 속도임).

한편 SI Ga As에서의 excess 매체 농도는 각 깊은 에너지 위치의 서로 다른 trapping 효과에 의해 서로 다를 수 있으며(일반적으로  $\delta n \neq \delta p$ ) 통상의 실험조건 아래에서는 아래의 관계가 성립한다.<sup>23)</sup>

$$n_0, p_0 \ll \delta n, \delta p \ll N_T \quad (4.4)$$

여기서  $N_T$ 는 재결합 중심의 농도이다. 연속방정식을

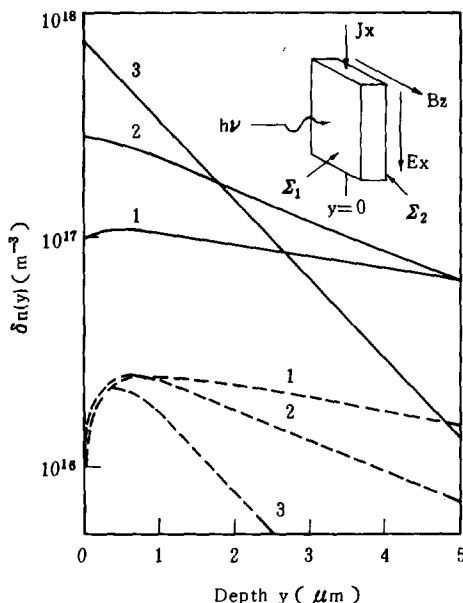


그림 3. Excess 매체농도구배  $\delta n(y)$ .  $I_o = 10^{20} \text{ m}^{-2} \text{s}^{-1}$ ,  
 $B = 1 \text{ T}$ ,  $\alpha = 8 \times 10^6 \text{ m}^{-1}$ ,  $d = 350 \mu\text{m}$ ,  
 $\mu_{n0} = 0.335 \text{ m}^2/\text{V.s}$ ,  $\mu_{p0} = 0.021 \text{ m}^2/\text{V.s}$ ,  
 $\Gamma = 1$ ,  $\tau_n = 10 \text{ ns}$ ,  $s_1 = 10 \text{ m/s}$  (—),  
 $10^3 \text{ m/s}$  (---), (1)  $E_x = -10^5 \text{ V/m}$ ,  
(2)  $E_x = 0$ , (3)  $E_x = 10^5 \text{ V/m}$

선형화하기 위하여 trapping parameter를 아래와 같이 도입하면 :

$$\Gamma = \delta p / \delta n = \tau_p / \tau_n \quad (4.5)$$

excess 매체의 농도구배는 결국 적절한 경계조건을 설정하여 아래의 일반적인 모양을 갖게된다.<sup>23)</sup>

$$\delta n(y) = A_1 e^{y/L_1} + A_2 e^{-y/L_2} + A_3 e^{-\alpha y} \quad (4.6)$$

여기서  $A_1$ ,  $A_2$  및  $A_3$ 는 관여된 여러 parameter 들에 의해 결정되는 특성거리들에 의해 결정되는 계수이다. 대표적인 실험조건 아래의 excess매체 농도구배가 그림 - 3에 나타나 있으며, Lorentz 힘의 크기와 방향에 따라 크게 변화함을 보인다. 시료의 두께 방향( $y$ )에의 평균을 취하여 전류-전압 특성은 아래와 같이 결국 표시된다.

$$J_x = J_c + J_D \quad (4.7)$$

$$J_c = \sigma_B E_x = e (\Gamma \mu_p + \mu_n) (1 + \mu_H^{*2} B^2) <\delta n> E_x \quad (4.8)$$

$$J_D = e D^* (\mu_{Hp} + \mu_{Hn}) B \Delta n / d \quad (4.9)$$

$$<\delta n> = \frac{1}{d} \int_0^d \delta n(y) dy \quad (4.10)$$

$$\Delta n = - \int_0^d \frac{\alpha}{\alpha y} \delta n(y) dy = \delta n(0) - \delta n(d) \quad (4.11)$$

위의 표현에서 SI Ga As의 특징인 (4.4)가 이용되었으며 ambipolar 확산계수  $D^*$ 는 아래와 같이 주어진다.

$$D^* = (kT/e) 2\Gamma \mu_p \mu_n / (\Gamma \mu_p + \mu_n) \quad (4.12)$$

이상의 해석은 통상의 시료두께( $d = 350 \mu\text{m}$ )가 GaAs 내의 확산거리(수  $\mu_m$ )에 비해 매우 크기 때문에 (4.6)의 첫항이 생략될 수 있고, 대단히 간단해 진다. 포함된 각 mobility는 3 절에 이미 논의된 바와 같이 monokinetic 가정에 의한 표현을 사용하여 기술된 여러 표현들을 일반화한 것들이다. 특히 외부 전장이 없을 때 ( $E_x = 0$ ) 확산전류  $J_D$  (4.9)는 고전적 PEM 효과를 나타내게 되고, 외부 전장이 매우 낮은 상태에서는 빛에 의해 생성된 전도매체들의 magnetoresistance를 얻을 수 있으며 :

$$\frac{\rho_B}{\rho_0} = \frac{(J_C)_{B=0}}{(J_C - J_D)_B} = \frac{J_B}{J_B - J_{PME}} \quad (4.13)$$

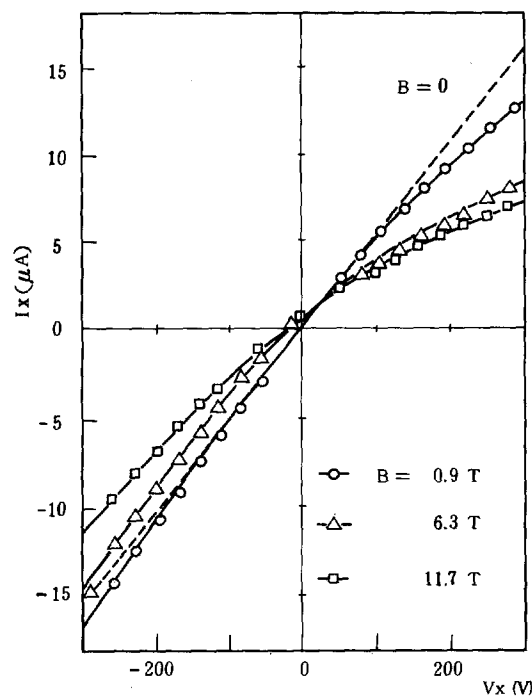


그림 4. FA-PME 효과의 전류-전압특성. 표면재 결합속도  $s_1 = 300 \text{ m/s}$

trapping 계수  $\Gamma$ 에 대단히 민감한 양이다. 실제로 SI GaAs에서 측정된 MR은 대단히 큰 값을 보여 ( $B = 10\text{ T}$ 에서  $\rho_B/\rho_0 \geq 2$ ) 이 결과  $\Gamma$ 는 1에 가까운, 즉 mixed conduction의 결과를 예측하게하였다.<sup>24)</sup>

최종적으로 전류-전압의 특성은 (4.7)에 의해 나타난 바와 같이 비직선성이고(그림 4), 표면 재결합 속도가 커질수록 시료표면으로 편향된 전류의 포화가 빨라질 수 있었다. 한편 Lorentz 힘이 적은 경우( $E_x B$ 가 작은 경우;  $E_x$  또는  $B$ 가 적은 경우), (4.7)은 아래와 같은 근사식을 가지며;

$$J_x = (\Delta\sigma_B)_0 E_x - r_1 (\Delta\sigma_B)_0 E_x^2 B - r_3 J_{PME} \\ (ExB)^2 + r_2 J_{PME} Ex B + J_{PME} \quad (4.14)$$

$(\Delta\sigma_B)_0$ 는  $ExB = 0$ 일 때를 표시한다. 이 표현은 측정된 전류가 Lorentz 힘의 방향에 따라 직선( $\sim ExB$ ) 및 포물선형( $Ex^2 B$  또는  $ExB^2$ )으로 분해될 수 있으며 그림 5에 그 예가 나타나 있다. 이와같이 전류-전압의 측정곡선을 조사함으로써 얻어진 재결합 관련 여러 parameter들이 표 2에 수록되어 있다.

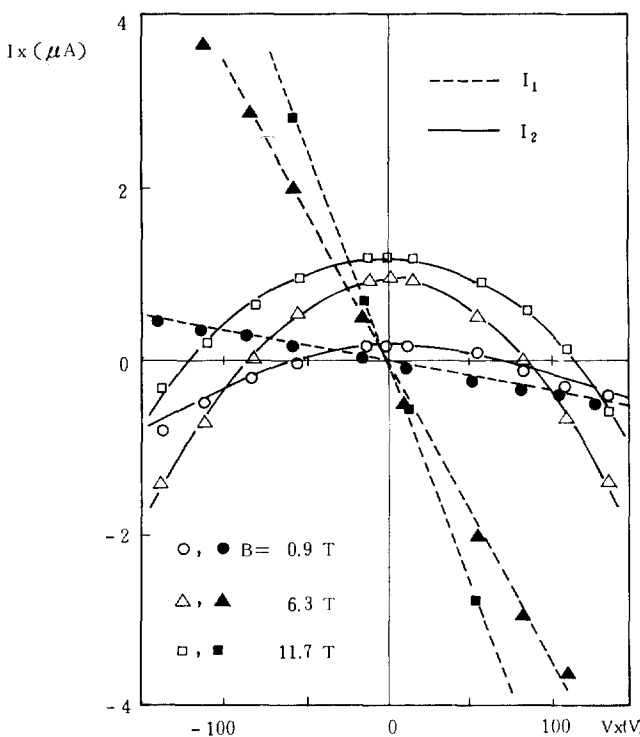


그림 5. FA-PME 효과의 두 전류성분.

$$I_{1,2} = 1/2 [I_x(B) \pm I_x(-B)]$$

표 2. SI GaAs의 재결합관련 Parameter들  
( $\mu_{n,p}$ : 표 1 참조,  $T = 296\text{ K}$ )

	$D_g^*(\text{m}^2/\text{s})$	$L_g^*(\mu\text{m})$	$\tau_n(\text{ns})$	$\tau_p'(\text{ns})$	$s_1(\text{m}/\text{s})$
No. 2	$1.3 \times 10^{-3}$	1.7	2.2	2.0	300
No. 7	$9.5 \times 10^{-4}$	1.1	1.0	0.8	20,000

위에 나타난 두 시료는 각각 화학연마된 표면(표면재결합이 낮은, No 2)과 기계적으로 연마된(표면재결합이 큰, No. 7) 것들이며, 각각 300 및 20,000  $\text{m}/\text{s}$ 의 표면재결합속도를 보여 실험조건과 잘 일치하고 있다. 특히 excess 매체의 수명( $\tau_n = 1.0 \sim 2.2\text{ ns}$ )는 이미 보고된 값( $0.5\text{ ns}$ <sup>17)</sup>과  $3\text{ ns}$ <sup>25)</sup>에 잘 일치하며 trapping 계수는 언급된 바와 같이 1 부근의 값이었다.

3 절에서 설명된 방법과 FA-PME 효과는 설명된 바와 같이 SI GaAs의 전기적 및 재결합 특성의 연구에 매우 효과적이었으며, 여타 재료들에 대해서도 적용될 것이 기대되어 진다.

## 5 SI GaAs 기판의 응용

SI GaAs를 이용한 각소자의 제조방법은 크게 두 가지로 나뉜다. 주로 logic 소자 및 IC의 제조에는 SI GaAs에 직접 이온주입(흔히 multiple localized ion implantation)을 하여 필요한 active layer 및  $n^+$  층을 얻는 방법이 있고, SI GaAs 위에 MOCVD(Metal-Organic Chemical Vapor Deposition) 또는 VPE(Vapor Phase Epitaxy)에 의해 고저항의 buffer 층과 active layer를 제조한 후 소자를 제조하는 두 가지 방법이다. 어느 방법을 이용하더라도 초고주파용 및 고속논리소자를 위해  $1\text{ }\mu\text{m}$  또는 그 이하의 크기를 갖는 gate의 제조기술이 필요하다. 이와 같은 미세구조는 E-beam, x-ray 또는 deep UV 등을 이용하여 gate metal angle shadow-deposition<sup>27)</sup> 등의 방법과 아울러 현재  $0.2\text{ }\mu\text{m}$  정도의 gate 크기를 갖는 소자제조기술이 다수 발표되어 있다.

Buffer layer는 SI GaAs와 active layer 사이에  $2 \sim 3\text{ }\mu\text{m}$ 의 두께로 약  $10^{14}\text{ cm}^{-3}$ 의 고순도 GaAs층이나  $\text{Ga}_{0.8}\text{Al}_{0.2}\text{As}$ 와 같이 GaAs보다 금지대가 큰것을 이용하기도 한다.<sup>28)</sup> Buffer layer가 있는 경우 active layer 내의 mobility 분포가 비교적 균일하나

그렇지 않은 경우 active layer - SI GaAs 경계면에서 급격히 감소하여 소자특성 크게 감소시킨다.<sup>29)</sup>

Active layer는 통상  $2 \times 10^{17} \text{ cm}^{-3}$  정도의 매체농도에  $0.2 \mu\text{m}$  정도의 두께를 가지며 그 위에 다시 ohmic 전극용  $n^+$  층( $10^{18} \text{ cm}^{-3}$  또는 그 이상) 갖고 있다.

전극재료로서 ohmic 전극은 통상 Au/Ge(12%)와 Ni을 함께 사용하며 gate 용으로는 Al, Ti/W, Pt/Ti/Au 등이 사용된다.

직접 이온주입에 의한 각 논리회로의 제조는 SAINT 방법(Self aligned implantation for  $n^+$  - layer technology)과 아울러  $0.1 \mu\text{m}$ 의 gate 크기까지 제조가능한 것이 보고되어 있고<sup>30)</sup> liftoff 방법과 함께 널리 사용되고 있다.

## ⑥ 맺는 말

SI GaAs 기판의 전기적 특성, 특히 저온에서의 특성과 scattering 현상에 대한 이해 및 고온처리시의 특성변화등이 앞으로 연구되어야 할 문제들로 남아 있다. 아울러 단결정 제조시의 결정결함을 감소시키고 결정내 불순물의 제거가 기술상의 문제로 앞으로 더 개선되어야 할 것으로 사료된다.

## 참 고 문 헌

- 1) 大林道夫; 電子材料 84年 1月, p. 47
- 2) 安部正幸; 電子材料 84年 1月, p. 42
- 3) G. M. Martin et al; Electron. Lett. **13**, p. 191 (1977)
- 4) A. Mitonneau et al; Electron. Lett. **13**, p. 666 (1977)
- 5) J. Lagowski et al; "Semi-Insulating III-V materials (Evian, 1982)", p154 (Shiva, Nantwich)
- 6) G. M. Martin et al; J. Appl. Phys. **51**(5), p.2840 (1980)
- 7) J. S. Blakemore; J. Appl. Phys. **53**, p. 520 (1982)

- 8 ) P. F. Lindquist; J. Appl. Phys. **48**, 1262 (1977)
- 9 ) J. Betko & K. Merinsky; J. Appl. Phys. **50**, 4212 (1979)
- 10) S. Cristoloveanu; Thesis INPG (1981, France)
- 11) D. C. Look; "Semi-Insulating III-V Materials (Nottingham, 1980)", p. 183 (Shiva, Orphington)
- 12) D. Marion, S. Cristoloveanu and A. Chovet; IEE Proc. **129**(part 1), p. 125 (1982)
- 13) K. Kikoin and M. M. Noskov; Phys. Z. Sowjetunion **5**, p. 586 (1934)
- 14) P. Aigrain and M. Bulliard; C. R. Acad. Sci., Paris, **236**, p. 595 (1953)
- 15) W. Van Roosbroeck; Phys. Rev. 101, p. 1713 (1956)
- 16) F. Adduci, L. Baldassarre and a. Minafra; J. Appl. Phys. **49**, p. 6178 (1978)
- 17) S. S. Li and C. I. Hung; J. Appl. Phys. **43**, 1757 (1972)
- 18) R. H. Moyer et al; Appl. Phys. Lett. **39**, p. 266 (1981)
- 19) H. Welker; Z. Naturf. **6a**, p. 184 (1954)
- 20) S. Cristoloveanu and J. H. Lee; J. Phys. C: Solid State Phys, **13**, p. 5983 (1980)
- 21) S. Cristoloveanu et al; ibid **16**, p. 927 (1983)
- 22) S. Cristoloveanu et al; Phys. Stat. Sol. (a) **76**, K43 (1983)
- 23) K. N. Kang; Thesis, ENSERG-INPG (1983, France)
- 24) S. Cristoloveanu and K. N. Kang; J. Phys. C:Solid State Phys. **17**, p. 699 (1984)
- 25) D. C. Look; Phys. Rev. **B16**, p. 5460 (1977)
- 26) Bryant M. Welch et al; IEEE **ED-27**, p. 1116(1980)
- 27) P. C. Chao et al; IEEE **EDL-4**(4), p. 122 (1983)
- 28) C. L. GHOSH and R. L. Layman; ibid **EDL-5**(1), p. 3 (1984)
- 29) T. M. Nosaki; Inst. Phys. Conf. Ser. No 24, Chapt. **2**, p. 46 (1975)
- 30) N. Kato et al; IEEE. **EDL-4** (11), p. 147 (1983)